
СИСТЕМНЫЙ АНАЛИЗ И МАТЕМАТИЧЕСКОЕ МОДЕЛИРОВАНИЕ

Предложенные расчетные формулы позволяют осуществить компьютерную реализацию задачи «Структура-спектр» в ангармоническом приближении, осуществлять предсказательные расчеты колебательных состояний сложных молекулярных систем в различных фазовых состояниях.

Библиографический список

1. *Волькенштейн, М. В.* Колебания молекул / М. В. Волькенштейн, Л. А. Грибов, М. А. Ельяшевич, Б. И. Степанов. – М. : Наука. 1972. – 672 с.
2. *Герцберг, Г.* Колебательные и вращательные спектры многоатомных молекул / Г. Герцберг. – М. : ИЛ, 1949. – 647 с.
3. *Панченко, Ю. Н.* Масштабирование квантовомеханических силовых полей молекул / Ю. Н. Панченко // Известия РАН. – 1996. – № 4. – С. 800–807. – (Сер. хим.).
4. *Пулин, В. Ф.* Исследование динамики молекулярных соединений различных классов / В. Ф. Пулин, М. Д. Элькин, В. И. Березин. – Саратов, 2002. – 556 с.
5. *Слейтер, Дж.* Электронная структура молекул / Дж. Слейтер. – М. : Мир, 1965. – 587 с.
6. *Элькин, М. Д.* Ангармонический анализ интенсивностей ИК колебательных спектров многоатомных молекул / М. Д. Элькин // Оптика и спектрометрия. – 1984. – Т. 57, № 3. – С. 561–564.
7. *Элькин, М. Д.* Ангармонический анализ колебательных спектров многоатомных молекул / М. Д. Элькин // Оптика и спектрометрия. – 1983. – Т. 54, № 5. – С. 895–898.
8. *Элькин, М. Д.* Естественные координаты в молекулярной динамике / М. Д. Элькин, А. Б. Осин, О. В. Колесникова // Вестник СГТУ. – 2007. – № 3 (26), вып. 1. – С. 46–51.
9. *Элькин, М. Д.* Кинематическая ангармоничность в электронно-графических исследованиях геометрии молекул / М. Д. Элькин // Журнал структурной химии. – 1986. – Т. 27. – С. 42–46.
10. *Элькин, М. Д.* Кинематическая и электрооптическая ангармоничность в теории интенсивностей ИК-, КР-спектров многоатомных молекул / М. Д. Элькин, В. И. Березин // Журнал прикладной спектроскопии. – 1995. – Т. 62. – С. 49–57.
11. *Элькин, М. Д.* Моделирование адиабатических потенциалов карбоновых кислот / М. Д. Элькин, Т. А. Шальнова, В. Ф. Пулин, О. В. Колесникова // Вестник СГТУ. – 2009. – № 1 (37). – С. 109–114.
12. *Элькин, М. Д.* О методе вычисления коэффициентов связи между точными и приближенными естественными колебательными координатами / М. Д. Элькин, А. Ф. Попов, Л. М. Свердлов // Оптика и спектрометрия. – 1981. – Т. 51, № 2. – С. 358–361.
13. *Элькин, П. М.* Метрические соотношения для естественных колебательных координат в задачах обертонной спектроскопии / П. М. Элькин, В. Ф. Пулин, В. И. Березин // ЖПС. – 2005. – Т. 72, № 5. – С. 694–696.
14. *Ферми, Энрико* Квантовая механика / Энрико Ферми. – М. : Мир, 1968. – 367 с.
15. *Frisch M. J.* Gaussian 03. Revision A.7/ M. J. Frisch, G. W. Trucks, H. B. Schlegel et al. – Pittsburgh (PA) : Gaussian Inc., 2003.
16. *Nielsen, H. H.* The vibration-rotation energies of molecules and their spectra in the infrared / H. H. Nielsen // Handbook der Physik. – 1957. – Vol. 37, № 1. – P. 173–313.

УДК 539.193/.194;535/.33/34

СТРУКТУРНО-ДИНАМИЧЕСКИЕ МОДЕЛИ ПРОДУКТОВ ГИДРОЛИЗА ЦИКЛОЗАРИНА

**М.Д. Элькин, Е.Ю. Степанович,
О.В. Колесникова, А.М. Лихтер**

В рамках гибридного метода функционала плотности DFT/b3LYP выполнены модельные расчеты геометрической структуры и колебательных состояний продукта гидролиза циклозарина – циклогексилметилfosфоновой кислоты (СМРА). Проведено сопоставление колебательных спектров соединений для выявления возможностей оптической идентификации в технологическом процессе уничтожения циклозарина.

Ключевые слова: циклозарин, циклогексилметилфосфоновая кислота, колебательные спектры, структурные модели.

Keywords: cyclosarine, cyclohexylmethylphosphonic acid, vibrational spectra, structural models.

Возможность использования методов колебательной спектроскопии для контроля такого технологического процесса, как гидролиз, при ликвидации известного химического и биологически активного соединения циклозарина (GF-agent) достаточно подробно описана в публикации [12].

На первой стадии гидролиза циклозарин превращается в циклогексилметилфосфоновую кислоту (СМРА), на второй стадии гидролиза СМРА разлагается на циклогексанол и метилфосфоновую кислоту (МРА). За подробностями отсылаем к работе [12], где приведены КР-спектрограммы СМРА и МРА в диапазоне 400–1600 см⁻¹, дана предварительная экспериментальная интерпретация ряда сильных по интенсивности полос в колебательном спектре соединений. Однако достоверность экспериментальной интерпретации нуждается в подтверждении теоретическими расчетами колебательных состояний исследуемых соединений [5]. Осуществить такой расчет в рамках классического подхода [5], основанного на переносе силовых постоянных из родственных по электронному строению молекулярных фрагментов, не представляется возможным. Основная причина в недостаточной степени надежности результатов решения обратных колебательных задач для фосфороганических соединений [4, 5], поскольку диапазон значительной части колебаний проявляется в низкочастотной части спектра и имеет низкую интенсивность в ИК- и КР-спектрах. Часть деформационных колебаний токсичного фрагмента соединений группы G-agents попадают в диапазон ниже 400 см⁻¹, для которого экспериментальные данные, как правило, не приводятся. Проблемы моделирования спектров фосфороганических соединений, предсказательные возможности существующих для этих целей компьютерных технологий, использующих накопленные базы данных по силовым постоянным молекулярных фрагментов, в том числе и фосфорсодержащим, подробно описаны в публикации [4].

Осуществить теоретическую интерпретацию колебательного спектра циклозарина и продуктов его распада в процессе гидролиза можно на основании неэмпирических квантовых расчетов параметров адиабатического потенциала и конформационных свойств соединений. Для фосфороганических соединений, в том числе и для ряда G-agents, предварительные результаты таких исследований представлены, к примеру, в публикациях [2, 6–8].

В данном сообщении приводятся результаты модельных расчетов –структуры и колебательного спектра СМРА, циклогексанола и МРА в рамках метода функционала плотности DFT/B3LYP [11].

Модельные расчеты структуры и колебательных состояний. Для теоретической интерпретации молекулярных колебаний используемое модельное квантовое уравнение (гамильтониан) во втором порядке теории возмущения [1]:

$$2H^{(v)} = \nu_s \left[P_s^2 + (Q^s)^2 \right] + [F_{srt} Q^s Q^r Q^t] + [F_{srtu} Q^s Q^r Q^t Q^u] \quad (1)$$

где ν_s – частоты гармонических колебаний, см⁻¹; Q^s – безразмерные нормальные колебательные координаты; F_{srt} и F_{srtu} – кубические и квартичные силовые постоянные – параметры разложения адиабатического потенциала в ряд по колебательным координатам [1].

Решение уравнения (1) методами теории возмущения при отсутствии ангармонических резонансов приводит к известному выражению для энергий колебательных состояний:

$$E^{(v)} = \nu_s (n_s + g_s / 2) + \chi_{sr} (n_s + 1/2)(n_r + 1/2)(1 + \delta_{sr} / 2) \quad (2)$$

где χ_{sr} – ангармонические постоянные – являются функциями ангармонических параметров адиабатического потенциала и резонансных знаменателей теории возмущения [1]. Значение указанных параметров зависит от выбора атомного базиса метода функционала плотности, что и подтверждают модельные расчеты, описанные в работе [7].

Исходные конформационные модели СМРА (см. рис.) отличаются значениями двугранных углов между плоскостью мостика С1O2Р3 и циклогексановым и токсичным фрагментами. Оптимизация геометрии приводит, как и в случае циклозарина, к двум конформационным моделям. Значения подобных валентных и двугранных углов конформеров циклозарина и СМРА

СИСТЕМНЫЙ АНАЛИЗ И МАТЕМАТИЧЕСКОЕ МОДЕЛИРОВАНИЕ

сопоставлены в табл. 1. Смена атомного базиса, приводит к сдвигу расчетных значений двугранных углов не более, чем на $2,5^\circ$.

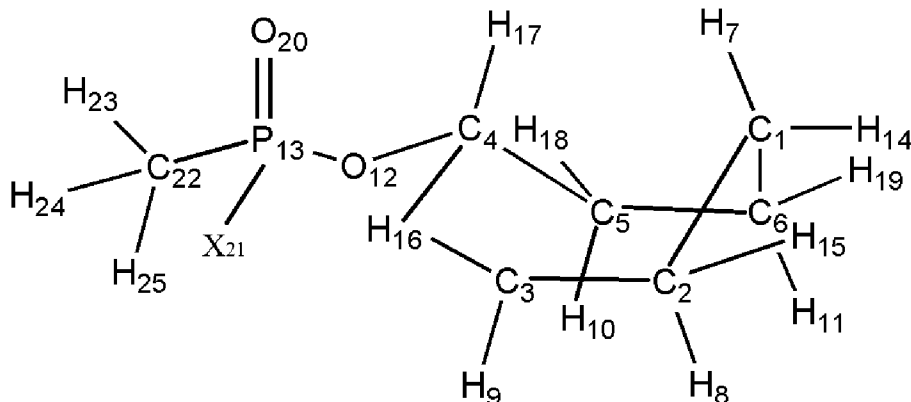


Рис. Молекулярная модель циклозарина ($X=F$) и СМРА ($X=O_{21}H_{26}$)

Таблица 1

Валентные и двугранные углы конформеров циклозарина и СМРА (в °)

Углы	Циклозарин				Углы	Циклозарин		СМРА	
	K1	K2	K1	K2		K1	K2	K1	K2
A _(4,12,13)	122,3	122,5	121,8	125,0	D _(3,4,5,6)	27,2	51,7	-31,3	53,2
A _(12,13,20)	116,8	116,9	116,7	112,1	D _(4,5,6,1)	-62,2	-53,4	-30,4	-54,2
A _(12,13,21)	102,8	102,7	104,2	105,2	D _(4,12,13,20)	27,8	27,5	43,2	160,2
A _(12,13,22)	103,5	103,6	100,5	105,9	D _(4,12,13,21)	-94,9	-95,2	-80,7	35,4
A _(20,13,21)	111,7	111,8	111,8	114,4	D _(4,12,13,22)	159,7	159,5	171,7	-71,6
A _(20,13,22)	118,3	118,4	117,8	116,7	D _(12,13,22,23)	49,4	-71,2	-65,4	-64,9
A _(21,13,22)	101,5	101,4	104,1	101,5	D _(20,13,22,23)	-179,6	60,0	62,5	60,6
A _(13,21,26)	—	—	108,3	110,1	D _(21,13,22,23)	-56,9	-177,4	-173,1	-174,5
D _(6,1,2,3)	29,1	-54,9	-28,8	-55,0	D _(12,13,21,26)	—	—	131,8	-134,1
D _(2,1,6,5)	31,6	55,0	62,3	55,1	D _(20,13,21,26)	—	—	4,8	-6,7
D _(1,2,3,4)	-64,2	53,3	-32,1	54,1	D _(22,13,21,26)	—	—	-123,4	121,2
D _(2,3,4,5)	33,9	-51,6	64,8	-53,2					

Примечание: валентные углы циклогексонового фрагмента отличаются от тетраэдрических не более, чем на $2,5^\circ$. Взаимное соответствие двугранных углов D_{CCCH} и D_{CCCC} , имеют общий фрагмент CCC шестичленного цикла и отклонение от тетраэдрического расположения не более, чем 4° .

Для длин валентных связей оптимизация геометрии СМРА приводит к следующим значениям (в Å): $R_{\text{CC}} = 1,54-1,55$, $R_{\text{CH}} = 1,09-1,10$, $R_{\text{CO}} = 1,46-1,47$, $R_{\text{OP}} = 1,60-1,61$, $R_{\text{P=O}} = 1,48-1,49$, $R_{\text{PO}} = 1,63-1,64$, $R_{\text{PC}} = 1,80-1,81$. Отличие от соответствующих значений в циклозарине не превышает 0,05 Å.

Следовательно, исследование геометрии и конформационных свойств токсичного фрагмента соединений группы G-agents и продуктов их распада в процессе гидролиза можно осуществлять в любом атомном базисе метода функционала плотности, что согласуется с выводами публикации [7].

Результаты модельных расчетов колебательных состояний конформеров циклозарина и СМРА сопоставлены в таблице 2. Из рассмотрения исключены валентные, деформационные и крутильные колебания метильных групп (CH_3) циклогексанового остова. Эти колебания хорошо воспроизводятся квантовыми расчетами и совпадают с экспериментальными данными для циклогексана из монографии [5]. Согласно проведенным модельным расчетам, полосы в диапазоне ниже 400 cm^{-1} в ИК- и КР-спектрах соединений, за исключением частоты крутильного колебания гидроксильного фрагмента OH не представляют интерес для задачи идентификации соединений в процессе гидролиза ввиду их низкой интенсивности. Поскольку этот диапазон не представлен в эксперименте, то в табл. 2 не приводятся колебания ниже 250 cm^{-1} .

ПРИКАСПИЙСКИЙ ЖУРНАЛ: **управление и высокие технологии № 3 (11) 2010**

Замена атома фтора в циклозарине на фрагмент OH приводит к появлению трех полос в колебательном спектре СМРА, интерпретируемых как валентное колебание связи OH (ν_{OH}), деформационное колебание валентного угла POH (β_{POH}), неплоское деформационное колебание типа ρ (R_{OH}) (выход связи OH из плоскости OPO).

Первое колебание, интенсивное как в ИК-, так и в КР-спектрах, лежит в диапазоне $\sim 3600 \text{ см}^{-1}$ и может служить надежным идентификационным признаком присутствия различных конформеров ИМРА. К сожалению, в работе [12] экспериментальные данные для указанного спектрального диапазона не приводятся.

Для идентификации продуктов гидролиза можно использовать сильную по интенсивности в ИК-спектре полосу, интерпретируемую как валентное колебание двойной связи PO($Q_{P=O}$). В зарине эта полоса $\sim 1280 \text{ см}^{-1}$. В ИМРА смещается в низкочастотную область на величину $\sim 50 \text{ см}^{-1}$.

Деформационное колебание валентного угла POH (β_{POH}) попадает в диапазон 980–1030 см^{-1} . В ИК-спектре полоса этого колебания обладает средней интенсивностью, но ее использование в качестве идентификационного признака затруднено, поскольку в диапазоне 960–980 см^{-1} проявляется на порядок более сильная по интенсивности ИК-полоса, интерпретируемая как валентные колебания связей мостика COP(Q_{CO}, Q_{OP}). Эта полоса наблюдается и в спектре зарина. КР-полосы в этом диапазоне имеют слабую интенсивность, что подтверждается теоретическим расчетом (табл. 2). Для спектральной идентификации соединений они не представляют интереса.

Неплоское деформационное колебание связи OH (R_{OH}) для всех конформеров СМРА следует считать характеристическим по частоте и интенсивности (полосы $\sim 300 \text{ см}^{-1}$). Но указанный диапазон экспериментально не представлен на спектrogramмах в исследованиях [12].

Интенсивные в ИК-спектрах полосы в диапазоне 700–900 см^{-1} характерны как для циклозарина, так и для СМРА. В табл. 2 они интерпретированы как валентные колебания связей RX (X=O,C) токсичного фрагмента. Использование этого диапазона для спектральной идентификации продуктов гидролиза, на наш взгляд, затруднено. Этот вывод имеет место и для диапазона 400–500 см^{-1} , полосы которого интерпретированы как деформационные колебания (β_P, α_P) валентных углов с центральным атомом фосфора.

Интересным представляется результат модельного расчета для деформационных колебаний связей CH метильной группы (β_{PCH}) токсичного фрагмента (890–950 см^{-1}). Имеет место заметное изменение интенсивности в ИК-спектрах при переходе от циклозарина к СМРА.

Мы не располагаем экспериментальными данными по колебательным спектрам циклогексанола. Поэтому в табл. 3 приведены расчетные данные для наиболее интенсивных полос. Их следует рассматривать как предсказательные результаты, по которым можно идентифицировать конформеры соединения.

Сопоставление расчетных и экспериментальных данных по колебательным спектрам МРА, представленное в табл. 4, дает возможность выявить полосы, по которым реальная спектральная идентификация конечного продукта гидролиза.

Неэмпирические квантовые методы DFT/b3LYP позволяют осуществлять предсказательные расчеты геометрической и электронной структуры циклозарина (GA-agent) и промежуточного продукта гидролиза СМРА с достоверностью, необходимой для построения их структурно-динамических моделей. Выбор базиса расчета не меняет качественной оценки интенсивности полос в колебательных спектрах соединений, количественной оценки геометрических параметров соединений.

Таблица 2

Интерпретация колебаний токсичного фрагмента конформеров циклозарина и СМРА

Форма колебаний	$v_{\text{эксп}}$ [1]	СМРА						Форма колебаний	Циклозарин						
		Конформер_1			Конформер_2				Конформер_1			Конформер_2			
		v_m	ИК	KР	v_m	ИК	KР		v_m	ИК	KР	v_m	ИК	KР	
Q_{OH}		3641	111	64,8	3635	114	70,9					1416	4,31	5,79	
α	1416	1419	4,85	8,01	1422	6,37	9,71	α	1416	3,91	5,58	1416	4,31	5,79	
α		1415	6,73	10,3	1415	4,71	7,83	α	1413	7,81	5,39	1413	8,06	5,19	
β		1312	40,4	0,57	1317	44,1	0,30	β	1310	40,3	0,23	1310	38,8	0,20	
$Q_{\text{O}=\text{P}}$	1243	1230	197	4,47	1253	180	5,95	$Q_{\text{O}=\text{P}}$	1245	215	9,66	1245	184	7,79	
$\gamma, Q_{\text{OP}}, Q_{\text{CO}}$		1012	274	10,2	1011	2,48	0,96	γ, Q_{CO}	1020	290	5,15	1009	11,5	0,73	
$Q_{\text{OP}}, Q_{\text{CO}}$		960	221	1,73	967	424	2,94	$Q_{\text{OP}}, Q_{\text{CO}}$	972	278	2,55	963	584	3,19	
β_{POH}	1000	999	60,5	3,26	990	74,6	3,68								
β		923	118	1,12	919	92,3	0,44	β	920	43,9	1,22	919	66,3	0,85	
β	896	893	37,9	1,65	898	14,6	3,17	β	902	21,4	1,52	901	25,7	1,47	
Q_{PO}	792	811	140,	3,79	802	158	1,56	Q_{PF}	777	120	3,29	778	125	2,69	
Q_{PC}		714	27,5	17,3	701	17,4	13,1	$Q_{\text{CO}}, Q_{\text{PC}}$	710	51,7	12,1	734	15,4	2,79	
β_{COP}	747	742	6,45	1,27	772	42,5	7,64	$\beta_{\text{COP}}, Q_{\text{PC}}, Q_{\text{PF}}$	754	7,03	7,91	699	41,1	20,4	
$\beta_{\text{оро}}$	475	484	18,17	0,82	427	24,0	0,66	$\beta_{\text{OPF}}, \beta_{\text{COP}}$	499	24,4	3,05	487	31,1	2,30	
$\beta_{\text{ор}=o}, \beta_{\text{оро}}$	441	439	31,58	1,79	421	31,6	1,76	$\alpha_{\text{OPF}}, \beta_{\text{OPO}}$	409	13,7	1,49	412	26,6	1,67	
$\alpha_{\text{ор}=o}, \beta_{\text{оро}}$		422	13,54	1,29	398	60,1	1,77	β_{OPF}	327	7,28	0,91	314	4,48	0,95	
$\alpha_{\text{o}}=\text{po}$		360	18,01	2,86	361	2,36	0,98	$\alpha_{\text{FPO}}, \beta_{\text{OPF}}$	258	0,32	1,22	262	0,12	1,10	
R_{OH}		302	55,4	1,97	305	46,1	1,04								

Примечание: частоты колебаний в см^{-1} , интенсивности в ИК-спектрах в км/моль, в КР-спектрах в $\text{\AA}^4/\text{а.е.м.}$

Таблица 3

Интерпретация колебательного спектра циклогексанола

Форма колеб	Конформер_1								Конформер_2								
	Минимум				Максимум				Минимум				Максимум				
	v _r	v _m	ИК	KР	v _r	v _m	ИК	KР	v _r	v _m	ИК	KР	v _r	v _m	ИК	KР	
Q _{OH}	3741	3554	7,45	95,5	3834	3639	21,0	100	Q _{OH}	3735	3548	6,01	118	3826	3632	19,0	121
β, βcoh	1284	1246	16,2	1,37	1300	1261	19,1	4,93	β, βcoh	1305	1266	11,3	7,40	1319	1280	19,7	15,3
β, βcoh	1230	1195	20,5	3,89	1249	1212	23,8	7,43	β, βcoh	1258	1221	28,2	4,25	1275	1237	32,7	9,29
β	1174	1140	14,1	0,60	1189	1155	18,9	0,94	β, βcoh	1175	1142	13,4	0,97	1189	1155	16,2	2,15
β, βcoh, x	1149	1116	15,0	0,48	1158	1125	18,9	0,60	Q, Qco	1078	1048	51,7	3,23	1103	1072	56,2	4,37
Qco	982	955	34,1	4,79	1005	977	48,1	5,26	Q, β, βcoh	1064	1034	23,4	5,83	1074	1044	36,4	7,38
xxccoh	291	285	117	1,38	315	308	119	4,07	xxccoh	286	280	93,8	1,29	314	307	106	4,02

Таблица 4

Интерпретация колебательного спектра метилфосфорной кислоты

Форма	v _{экс} [1]	Минимум				Максимум				Форма	v _{экс} [1]	Минимум				Максимум				
		v _r	v _m	ИК	KР	v _r	v _m	ИК	KР			v _r	v _m	ИК	KР	v _r	v _m	ИК	KР	
Тип симметрии А'																				
Qoh		3753	3565	103	99	3834	3640	132	120	xop, xpo		334	327	147	1,9	338	330	169	3,3	
q		3145	3004	0,68	58	3167	3024	1,6	64	ap, bp,		245	240	10	0,8	252	247	149	1,1	
q		3059	2924	0,1	102	3081	2944	0,2	139	Тип симметрии А"										
α		1458	1413	3,9	4,7	1491	1444	6,6	148	Qoh		3750	3563	82	51	3831	3637	106	64	
α, β		1353	1312	39	0,3	1381	1339	46	1,4	q		3148	3007	0,8	55	3172	3029	1,8	63	
Qp=o, βo		1265	1228	245	3,4	1295	1257	286	11	α	1424	1460	1415	4,0	5,7	1491	1444	7,1	14	
βpoh	1054	1029	1001	36	3,6	1075	1045	40	5,5	βpoh	1004	985	958	21	1,9	1032	1003	83	2,3	
β		892	922	897	56	2,0	934	909	65	4,3	β	956	954	929	136	0,2	972	946	174	0,4
Qop, Qpo	774	825	804	129	2,4	839	818	153	3,5	Qop, Qpo		846	824	184	1,6	868	845	267	3,0	
Qpc		716	699	6,6	17	722	704	9,7	21	ap, bp,	408	416	407	86	2,0	419	410	89	2,4	
αp, βp		425	416	33	4,1	431	422	41	5,3	ap, bp,		304	297	16	0,4	306	300	19	0,6	
βopo,		374	366	15	0,7	376	368	28	1,0	xpc		175	171	0,1	0,0	182	178	0,1	0,0	
										xop, xpo		81	79	21	0,9	94	92	24	1,7	

ФИЗИКА ТВЕРДОГО ТЕЛА, НАНОСИСТЕМ И МАТЕРИАЛОВ

Для идентификации токсичного фрагмента циклозарина и СМРА следует использовать интенсивные полосы ИК спектра в диапазоне $700\text{--}1300\text{cm}^{-1}$, а также сильную по интенсивности в ИК и КР спектрах полосу $\sim 3600\text{ cm}^{-1}$, интерпретированную как валентное колебаний связи ОН в СМРА. Идентификация конформеров соединений по положению и интенсивностям колебательных полос затруднена.

Для качественной оценки ангармонического смещения полос можно использовать процедуру масштабирования частот нормальных колебаний.

Проведенный численный эксперимент, полученные результаты анализа геометрической структуры и параметров адиабатического потенциала циклозарина и СМРА дают основание предполагать, что используемая методика позволяет осуществить теоретическую интерпретацию соединений группы G-agents и продуктов их гидролиза.

Библиографический список

1. *Браун, П. А.* Введение в теорию молекулярных спектров / П. А. Браун, А. А. Киселев. – Л. : Изд-во ЛГУ, 1983. – 324 с.
2. *Кладиева, А. С.* Моделирование адиабатических потенциалов фосфорорганических соединений / А. С. Кладиева, М. А. Эрман, П. М. Элькин // Проблемы оптической физики и биофотоники : мат-лы XIII Междунар. науч. школы по оптике, лазерной физике и биофизике. – Саратов, 2009. – С. 143–146.
3. *Краснощеков, С. В.* Масштабирующие множители как эффективные параметры для коррекции неэмпирического силового поля / С. В. Краснощеков, Н. Ф. Степанов // Журнал физической химии. – 2007. – Т. 81, № 4. – С. 680–689.
4. *Мясоедов, Б. Ф.* Фрагментарные методы расчета ИК-спектров фосфорорганических соединений / Б. Ф. Мясоедов, Л. А. Грибов, А. И. Павлючко // Журнал структурной химии. – 2006. – Т. 47, № 1. – С. 449–456.
5. *Свердлов, Л. М.* Колебательные спектры многоатомных молекул / Л. М. Свердлов, М. А. Ковнер, Е. П. Крайнов – М. : Наука, 1970. – 559 с.
6. *Элькин, М. Д.* Методы оптической физики в экологическом мониторинге безопасных технологий уничтожения отравляющих веществ / М. Д. Элькин, О. В. Колесникова // Южно-российский вестник геологии, географии и глобальной энергии. – 2006. – № 7 (20). – С. 8–16.
7. *Элькин, М. Д.* Возможности информационной технологии “Gaussian” в моделировании колебательных спектров фосфорорганических соединений / М. Д. Элькин, О. В. Колесникова, О. Н. Гречухина // Вестник СГТУ. – 2008. – № 2 (32), вып. 1. – С. 105–112.
8. *Элькин, М. Д.* Ангармонический анализ колебательных состояний фенилфосфина и фенилдихлорфосфина / М. Д. Элькин, А. С. Кладиева, И. И. Гордеев // Прикаспийский журнал: управление и высокие технологии. – 2009. – № 4 (8). – С. 39–45.
9. *Элькин, П. М.* Моделирование структуры и колебательных спектров кислородосодержащих соединений / П. М. Элькин, Т. А. Шальнова, О. Н. Гречухина // Известия СГТУ. – 2009. – Т. 9, № 1. – С. 24–30. – (Новая серия: Физика).
10. *Braue Ernest, H.* FT-Ir Analysis of Warfare Agents / Ernest H. Braue, Michael G. Pannella // Applied Spectrosc. – 1990. – Vol. 44, № 9. – P. 1513–1520.
11. *Frisch, M. J.* Gaussian / M. J. Frisch, G. W. Trucks, H. B. Schlegel. – Pittsburgh PA, 2003.
12. *Infrared-Spectrometry* Organisation for the prohibition of chemical weapons. – 2001. – Cert. № DB/007.
13. *Inscore, F.* Characterization of chemical warfare G-agent hydrolysis products by surface-enhanced Raman spectroscopy / F. Inscore, A. Gift, P. Maksymiuk, S. Farquharson // SPIE. – 2004. – Vol. 5585. – С. 46–52.